

FORMULARZ ZMIANY DANYCH W ZGŁOSZENIU INSTALACJI WYTWARZAJĄCYCH POLA ELEKTROMAGNETYCZNE

I. Wypełnia podmiot prowadzący instalację dokonujący jej zgłoszenia

1. Nazwa i adres organu ochrony środowiska właściwego do przyjęcia zgłoszenia
*Starostwo Powiatowe w Myśliborzu
Wydział Środowiska
ul. Spokojna 13
74-300 Myślibórz*
2. Nazwa instalacji zgodna z nazewnictwem stosowanym przez prowadzącego instalację
stacja bazowa BT43669 BOLESZKOWICE (ext. 17)
3. Określenie nazw jednostek terytorialnych (gmin, powiatów i województw), na których terenie znajduje się instalacja, wraz z podaniem symboli KTS¹⁾ jednostek terytorialnych, na których terenie znajduje się instalacja
*KTS1 1002000000000 PÓŁNOCNO-ZACHODNI
KTS2 1002320000000 Zachodniopomorskie
KTS3 1002321000000 Zachodniopomorskie
KTS4 1002321640000 Szczecinecko-pyrzycki
KTS5 1002321641000 myśliborski
KTS6 10023216410022 Boleszkowice*
4. Oznaczenie prowadzącego instalację, jego adres zamieszkania lub siedziby
Prowadzący instalację: Polkomtel Infrastruktura Sp. z o.o., ul. Konstruktorska 4, 02-673 Warszawa;
5. Adres zakładu, na którego terenie prowadzona jest eksploatacja instalacji
74-407 Boleszkowice, działka nr 935/6 w Boleszkowicach gmina Boleszkowice; powiat myśliborski; województwo zachodniopomorskie
6. Rodzaj instalacji, zgodnie z załącznikiem nr 2 do rozporządzenia Ministra Środowiska z dnia 2 lipca 2010 r. w sprawie zgłoszenia instalacji wytwarzających pola elektromagnetyczne (Dz. U. Nr 130, poz. 879)
instalacje radiokomunikacyjne, których równoważna moc promieniowania izotropowo wynosi nie mniej niż 15W, emitujące pola elektromagnetyczne o częstotliwościach od 30 kHz do 300 GHz
7. Rodzaj i zakres prowadzonej działalności, w tym wielkość produkcji lub wielkość świadczonych usług
działalność w zakresie telekomunikacji przewodowej i bezprzewodowej.
8. Czas funkcjonowania instalacji (dni tygodnia i godziny)
7 dni w tygodniu, 24 godziny na dobę
9. Wielkość i rodzaj emisji²⁾
*sumaryczna moc EIRP anten sektorowych 52827 W
sumaryczna moc EIRP anten radioliniowych 12505 W*
10. Opis stosowanych metod ograniczania emisji
Parametry stacji bazowej zostały tak dobrane, aby ponadnormatywny poziom pola elektromagnetycznego nie występował w miejscach dostępnych dla ludności.
11. Informacja, czy stopień ograniczania wielkości emisji jest zgodny z obowiązującymi przepisami
W miejscach dostępnych dla ludności poziom pola elektromagnetycznego nie przekracza wartości ponadnormatywnych.
12. Szczegółowe dane, odpowiednio do rodzaju instalacji, zgodne z wymaganiami określonymi w załączniku nr 2 do rozporządzenia:

1) współrzędne geograficzne anten	2) częstotliwość pracy	3) wysokości środków elektrycznych anten nad poziomem terenu	4) EIRP - równoważna moc promieniowana izotropowo	5) zakresy azymutów i kątów pochylecia osi głównych wiązek promieniowania
52-44-03.30N 14-35-43.92E	900 Mhz	46,85 m	12264 W	Azymut 30° Pochylenie 0°-8°
52-44-03.30N 14-35-43.92E	900 Mhz	46,85 m	5736 W	Azymut 140° Pochylenie 0°-9°
52-44-03.30N 14-35-43.92E	900 Mhz	46,85 m	5736 W	Azymut 250° Pochylenie 0°-8°
52-44-03.30N 14-35-43.92E	420 Mhz	47,00 m	973 W	Azymut 30° Pochylenie 0°-0°
52-44-03.30N 14-35-43.92E	420 Mhz	47,00 m	973 W	Azymut 150° Pochylenie 0°-2°
52-44-03.30N 14-35-43.92E	420 Mhz	47,00 m	973 W	Azymut 270° Pochylenie 0°-2°
52-44-03.30N 14-35-43.92E	1800 Mhz	41,70 m	6812 W	Azymut 10° Pochylenie 0°-6°
52-44-03.30N 14-35-43.92E	1800 Mhz	41,70 m	6812 W	Azymut 140° Pochylenie 0°-6°
52-44-03.30N 14-35-43.92E	1800 Mhz	41,70 m	6812 W	Azymut 260° Pochylenie 0°-6°

52-44-03.30N 14-35-43.92E	900 Mhz	46,85 m	5736 W	Azymut 345° Pochylenie 0°-9°
52-44-03.30N 14-35-43.92E	23 GHz	49,50 m	912,01 W	Azymut 82°
	80 GHz		3388,44 W	
52-44-03.30N 14-35-43.92E	23 GHz	44,50 m	562,34 W	Azymut 88°
52-44-03.30N 14-35-43.92E	80 GHz	50,00 m	7079,46 W	Azymut 88°
52-44-03.30N 14-35-43.92E	23 GHz	49,50 m	562,34 W	Azymut 204°
6) Na podstawie wykonanej analizy stwierdza się, że w odległościach od anten sektorowych, określonych zgodnie z Rozporządzeniem Rady Ministrów z dnia 10 września 2019 r. w sprawie przedsięwzięć mogących znacząco oddziaływać na środowisko (Dz.U z 2019 r. poz. 1839), wzdłuż osi głównych wiązek promieniowania tych anten, nie występują miejsca dostępne dla ludności				
7) Sprawozdanie z pomiarów poziomów pól elektromagnetycznych – załącznik nr 2				
13. Miejscowość, data (rok - miesiąc - dzień): Imię i nazwisko osoby reprezentującej prowadzącego instalację				
<div style="border: 1px solid black; height: 20px; width: 100%;"></div>				
Podpis			/ Gdynia, 16.04.2021 r.	
II. Wypełnia organ ochrony środowiska przyjmujący zgłoszenie				
Data zarejestrowania zgłoszenia		Numer zgłoszenia		
.....			

Objaśnienia:

- 1) System Kodowania Jednostek Terytorialnych i Statystycznych (KTS) wprowadzony Zarządzeniem wewnętrznym nr 22 Prezesa Głównego Urzędu Statystycznego z dnia 24 sierpnia 2017 r. w sprawie wprowadzenia Systemu Kodowania Jednostek Terytorialnych i Statystycznych
- 2) W przypadku stacji elektroenergetycznych i napowietrznych linii elektroenergetycznych - napięcie znamionowe, a w przypadku pozostałych instalacji - równoważne moce promieniowane izotropowo (EIRP) poszczególnych anten.
- 3) Liczba porządkowa zgodna z numeracją punktów w odpowiednich do rodzaju instalacji ustępach załącznika nr 2 do rozporządzenia.



Laboratorium EMVO Sp. J. Urbański, Pawełak

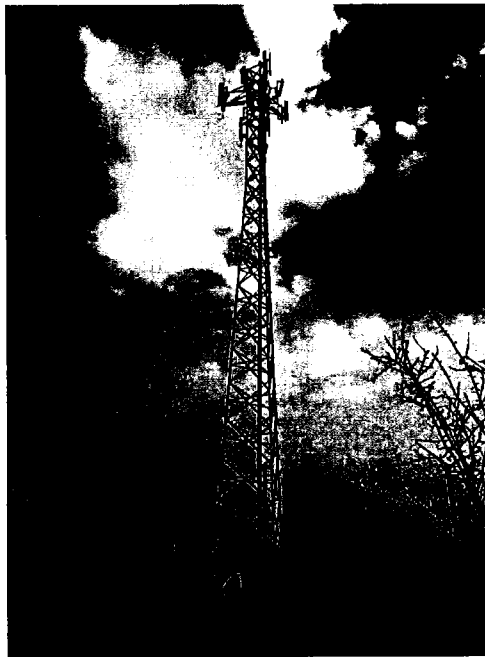
ul. Jasna 1
00-013 Warszawa

tel. +48 22 780 29 64
e-mail: laboratorium@emvo.pl



AB 1630

Sprawozdanie z pomiarów pól elektromagnetycznych - środowisko ogólne nr 30/03/OŚ/2021-ELT



Nr i nazwa stacji	BT43669 BOLESZKOWICE	
Adres	74-407 Boleszkowice, działka nr 935/6, woj. zachodniopomorskie	
Opracowanie	Wiesław Laskowski	Specjalista ds. pomiarów
Autoryzacja	h	
Podpis		
Data	2021-04-01	

Spis treści

1. Informacje ogólne.	3
2. Podstawa prawna	3
3. Opis pomiarów	3
4. Zróżnicowanie dopuszczalne poziomy pól elektromagnetycznych.....	4
5. Charakterystyka źródeł PEM.....	5
6. Wyniki pomiarów.	5
7. Stwierdzenie zgodności	8
8. Oświadczenie.....	8
9. Spis załączników.	8

1. Informacje ogólne.

Zleceniodawca	Axians Networks Poland Sp. z o.o., ul. Żupnicza 17, 03-821 Warszawa osoba udzielająca informacji – Piotr Miliszkievicz
Istotne informacje dostarczone przez klienta	komplet informacji niezbędnych do wykonania pomiarów i opracowania sprawozdania
Dane otrzymane od klienta mogące mieć wpływ na ważność wyników	dane anten sektorowych, dane anten radioliniowych, parametry pracy instalacji, poprawka pomiarowa
Prowadzący instalację	Polkomtel Infrastruktura sp. z o.o., ul. Konstruktorska 4, 02-673 Warszawa
Lokalizacja obiektu	74-407 Boleszkowice, działka nr 935/6, woj. zachodniopomorskie
Miejsce instalacji anten	wieża kratowa
Miejsce instalacji urządzeń	kontener
Osoby wykonujące pomiar	
Data wykonania pomiaru	2021-04-01
Temperatura na początku pomiaru [°C]	15
Temperatura na koniec pomiaru [°C]	13
Warunki atmosferyczne	brak opadów
Wilgotność na początku pomiaru [%]	55
Wilgotność na koniec pomiaru [%]	58
Inne źródła pól elektromagnetycznych	nie występują
Tryb pracy urządzeń	eksploatacyjny

2. Podstawa prawna.

2.1 Normy i rozporządzenia:

- Rozporządzeniem Ministra Klimatu z dnia 17 lutego 2020 r. w sprawie sposobów sprawdzania dotrzymania dopuszczalnych poziomów pól elektromagnetycznych w środowisku (Dz.U. 2020 poz. 258)
- Rozporządzenie Ministra Zdrowia z dnia 17 grudnia 2019 r. w sprawie dopuszczalnych poziomów pól elektromagnetycznych w środowisku (Dz.U. 2019 poz. 2448)
- Obwieszczenie Marszałka Sejmu Rzeczypospolitej Polskiej z dnia 19 lipca 2019 r. w sprawie ogłoszenia jednolitego tekstu ustawy - Prawo ochrony środowiska (Dz.U. 2019 poz. 1396).

3. Opis pomiarów

Metodologia pomiarowa	Pomiary w oparciu o Rozporządzeniem Ministra Klimatu z dnia 17 lutego 2020 r. w sprawie sposobów sprawdzania dotrzymania dopuszczalnych poziomów pól elektromagnetycznych w środowisku (Dz.U. 2020 poz. 258), Dokument PCA DAB-18 „Program akredytacji laboratoriów badawczych wykonujących pomiary pola elektromagnetycznego w środowisku” wyd. 1, Warszawa, 02.02.2017 r.
Cel badań	Określenie wartości natężenia pola elektrycznego w miejscach dostępnych dla ludności.

Opis zestawu pomiarowego	<p>Miernik Narda NBM 520, Sonda EF 9091, o zakresie pomiarowym 0,7 V/m - 400V/m pracująca w paśmie 0,1 – 90 GHz, świadectwo wydane przez Laboratorium Wzorców i Metrologii Pola Elektromagnetycznego, Instytut Telekomunikacji, Teleinformatyki i Akustyki Politechniki Wrocławskiej. Świadectwo ważne do 15.07.2021r.</p> <p>Miernik Narda NBM 520, Sonda EF 9091 pracująca w zakresie temperatury -10°C - +50°C oraz wilgotności 5% - 95%.</p> <p>Niepewność rozszerzona 58,4% przy poziomie ufności 95% z uwzględnieniem współczynnika rozszerzenia k=2.</p>
Wypożyczenie pomocnicze	<p>Termohigrometr Termoprodukt, typ: Termik+, nr identyfikacyjny 700618, świadectwo wzorcowania nr 1763/AH/19 z dn. 29.07.2019 r. wydane przez Laboratorium Pomiarowe "MUTECH".</p> <p>Przymiar wstępowy STABILA, nr identyfikacyjny 31WL, świadectwo wzorcowania nr 6W1/1826/19 z dn. 02.08.2019 r. wydane przez Dyrektora Okręgowego Urzędu Miar w Gdańsku.</p> <p>GPS Garmin 64s okresowo sprawdzany w punktach osnowy geodezyjnej klasy 3 na podstawie licencji punktu, zgodnie z procedurą sprawdzeń okresowych IS/PO16-11/03.</p>
Pomiary zostały wykonane	<ol style="list-style-type: none"> na głównych i pomocniczych kierunkach pomiarowych, na kierunkach zbliżonych do azymutów anten oraz w dodatkowych pionach pomiarowych zgodnie z wymaganiami pkt 12, 13, 14 i 19 załącznika do rozporządzenia Ministra Klimatu z dnia 17 lutego 2020 r. (Dz. U. 2020, poz. 258), na obszarze pomiarowym, dla którego, na podstawie uprzednio wykonanych obliczeń uzyskanych od zleceniodawcy, stwierdzono możliwość występowania pól elektromagnetycznych o poziomach zbliżonych do poziomów dopuszczalnych zgodnie z wymaganiami pkt 5 ppkt 2 oraz pkt 13 ppkt 1 załącznika do rozporządzenia Ministra Klimatu z dnia 17 lutego 2020 r. (Dz. U. 2020, poz. 258). Wyniki obliczeń nie uwzględniały parametrów pracy instalacji innych operatorów występujących na obiekcie bądź w obszarze pomiarowym. w miejscach dostępnych dla ludności. miejsca niedostępne podczas wykonywania pomiarów wskazane zostały w pkt 6 (tabeli wyniki pomiarów) wyniki pomiarów uzyskane zostały przy uwzględnieniu poprawek pomiarowych przekazanych przez zleceniodawcę oraz przy rzeczywistych warunkach pracy instalacji innych operatorów (w przypadku występowania). W takiej sytuacji uwzględniono jednolitą poprawkę pomiarową wynoszącą 1,47.
Szczególne warunki podczas wykonywania pomiarów	<p>Pomiary wykonane zostały podczas obowiązywania w kraju stanu epidemii, zgodnie z art. 122a ust. 1b Ustawy z dnia 27 kwietnia 2001 r. – Prawo ochrony środowiska (Dz. U. z 2019 r. poz. 1396, z późn. zm.9))</p>
Warunki pracy urządzeń nadawczych	<p>Podczas pomiarów zostały uwzględnione poprawki pomiarowe przekazane przez zleceniodawcę, umożliwiające uwzględnienie maksymalnych parametrów pracy instalacji zgodnie z pkt 7 załącznika do Rozporządzeniem Ministra Klimatu z dnia 17 lutego 2020 r. w sprawie sposobów sprawdzania dotrzymania dopuszczalnych poziomów pól elektromagnetycznych w środowisku (Dz. U. 2020, poz. 258).</p>

4. Zróżnicowanie dopuszczalne poziomy pól elektromagnetycznych.

Zakresy znajdują się w Dzienniku Ustaw z dnia 17 grudnia 2019 r. przedstawione są w tabeli nr 2 (Dz. U. z 2019 r. poz. 2448).

Zakres częstotliwości pola elektromagnetycznego	Parametr fizyczny		
	Składowa elektryczna E (V/m)	Składowa magnetyczna H (A/m)	Gęstość mocy S (W/m ²)
od 400 MHz do 2000 MHz	$1,375 \times f^{0,5}$	$0,0037 \times f^{0,5}$	f / 200
od 2 GHz do 300 GHz	61	0,16	10

„Bez pisemnej zgody Laboratorium niniejsze sprawozdanie nie może być powielane inaczej, jak tylko w całości. Ponadto wyniki dotyczą tylko badanych obiektów przywołanych w niniejszym sprawozdaniu z badań”

5. Charakterystyka źródeł PEM.

Zgodnie z informacją otrzymaną od klienta pomiary zostały wykonane przy ustawieniach pochyleń anten zgodnych z pkt. 13, ppkt 2 załącznika do rozporządzenia Ministra Klimatu z dnia 17 lutego 2020 roku.

Tabela 1. Anteny sektorowe - dane otrzymane od klienta

Typ anteny	Współrzędne geograficzne	Azymut [°]	Wysokość zawieszenia anten (środek elektr. anteny) n.p.t. [m]	Pasma częstotliwości	Zakres pochyleń elektrycznego [°]	Średnie pochylenie anten (ustawione do pomiarów PEM) [°]	Pochylenie mechaniczne [°]	EIRP [W]	EIRP (suma) [W]
A704521ROV06	14°35'43.92"E 52°44'03.30"N	30	46,85	900	0-8	4	0	12264	12264
A704517ROV06	14°35'43.92"E 52°44'03.30"N	140	46,85	900	0-9	3	0	5736	5736
A704517ROV06	14°35'43.92"E 52°44'03.30"N	250	46,85	900	0-8	4	0	5736	5736
741516	14°35'43.92"E 52°44'03.30"N	30	47	420	0-0	4	0	973	973
741516	14°35'43.92"E 52°44'03.30"N	150	47	420	0-0	0	12	973	973
741516	14°35'43.92"E 52°44'03.30"N	270	47	420	0-0	0	12	973	973
80010378	14°35'43.92"E 52°44'03.30"N	10	41,7	1800	0-6	3	0	6812	6812
80010378	14°35'43.92"E 52°44'03.30"N	140	41,7	1800	0-6	3	0	6812	6812
80010378	14°35'43.92"E 52°44'03.30"N	260	41,7	1800	0-6	3	0	6812	6812
A704517ROV06	14°35'43.92"E 52°44'03.30"N	345	46,85	900	0-9	4,5	0	5736	5736

Tabela 2. Anteny radioliniowe - dane otrzymane od klienta

Typ anteny	Współrzędne geograficzne	Azymut [°]	Średnica [m]	Pasma częstotliwości [GHz]	Zysk energetyczny [dBi]	Moc wyjściowa nadajnika [dBm]	EIRP [W]	Wysokość zawieszenia (środek elektryczny anteny) n.p.t. [m]
ANT2/2B0.623/80HP/HP	14°35'43.92"E 52°44'03.30"N	82,44	0,6	23	39,6	20	912,0	49,5
			0,6	80	49,3	16	3388,4	
UKY 220 45/SC15	14°35'43.92"E 52°44'03.30"N	88,31	0,6	23	40,5	17	562,3	44,5
UKY 230 42/14H	14°35'43.92"E 52°44'03.30"N	88,31	0,6	80	50,5	18	7079,5	50,0
UKY 220 45/SC15	14°35'43.92"E 52°44'03.30"N	203,52	0,6	23	40,5	17	562,3	49,5

6. Wyniki pomiarów.

Wyniki pomiarów pól elektromagnetycznych dla celów ochrony środowiska przedstawia poniższa tabela. Piony pomiarowe zostały przedstawione w zał. 2.

Nr PP	Pole-E [V/m]	Pole-E *k _E +U [V/m]	Pole-H [A/m]	Pole-H *k _E +U [A/m]	Wysokość pomiaru [m]	Współrzędne PP x, y	Opis PP	WM _E	WM _H
1	< 0,7*	< 1,63	< 0,002	< 0,004	0,3 - 2,0	52°44'05,8"N 14°35'44,4"E	otoczenie stacji bazowej - 80 m wzdłuż gł. osi promieniowania - GKP	< 0,042	< 0,041
2	< 0,7*	< 1,63	< 0,002	< 0,004	0,3 - 2,0	52°44'08,3"N 14°35'44,9"E	otoczenie stacji bazowej - 160 m wzdłuż gł. osi promieniowania - GKP	< 0,042	< 0,041
3	< 0,7*	< 1,63	< 0,002	< 0,004	0,3 - 2,0	52°44'10,9"N 14°35'45,5"E	otoczenie stacji bazowej - 240 m wzdłuż gł. osi promieniowania - GKP	< 0,042	< 0,041

Nr PP	Pole-E [V/m]	Pole-E *k _E +U [V/m]	Pole-H [A/m]	Pole-H *k _E +U [A/m]	Wysokość pomiaru [m]	Współrzędne PP x, y	Opis PP	WM _E	WM _H
4	< 0,7*	< 1,63	< 0,002	< 0,004	0,3 - 2,0	52°44'13,5"N 14°35'46,0"E	otoczenie stacji bazowej - 320 m wzdłuż gł. osi promieniowania - GKP	< 0,042	< 0,041
5	< 0,7*	< 1,63	< 0,002	< 0,004	0,3 - 2,0	52°44'16,0"N 14°35'46,4"E	otoczenie stacji bazowej - 400 m wzdłuż gł. osi promieniowania - GKP	< 0,042	< 0,041
6	< 0,7*	< 1,63	< 0,002	< 0,004	0,3 - 2,0	52°44'18,6"N 14°35'47,0"E	otoczenie stacji bazowej - 480 m wzdłuż gł. osi promieniowania - GKP	< 0,042	< 0,041
7	< 0,7*	< 1,63	< 0,002	< 0,004	0,3 - 2,0	52°44'05,5"N 14°35'45,9"E	otoczenie stacji bazowej - 80 m wzdłuż gł. osi promieniowania - GKP	< 0,042	< 0,041
8	< 0,7*	< 1,63	< 0,002	< 0,004	0,3 - 2,0	52°44'07,8"N 14°35'47,9"E	otoczenie stacji bazowej - 160 m wzdłuż gł. osi promieniowania - GKP	< 0,042	< 0,041
9	< 0,7*	< 1,63	< 0,002	< 0,004	0,3 - 2,0	52°44'10,1"N 14°35'49,8"E	otoczenie stacji bazowej - 240 m wzdłuż gł. osi promieniowania - GKP	< 0,042	< 0,041
10	< 0,7*	< 1,63	< 0,002	< 0,004	0,3 - 2,0	52°44'12,4"N 14°35'51,8"E	otoczenie stacji bazowej - 320 m wzdłuż gł. osi promieniowania - GKP	< 0,042	< 0,041
11	< 0,7*	< 1,63	< 0,002	< 0,004	0,3 - 2,0	52°44'14,7"N 14°35'53,7"E	otoczenie stacji bazowej - 400 m wzdłuż gł. osi promieniowania - GKP	< 0,042	< 0,041
12	< 0,7*	< 1,63	< 0,002	< 0,004	0,3 - 2,0	52°44'17,0"N 14°35'55,7"E	otoczenie stacji bazowej - 480 m wzdłuż gł. osi promieniowania - GKP	< 0,042	< 0,041
13	< 0,7*	< 1,63	< 0,002	< 0,004	0,3 - 2,0	52°44'01,3"N 14°35'46,9"E	otoczenie stacji bazowej - 80 m wzdłuż gł. osi promieniowania - GKP	< 0,042	< 0,041
14	< 0,7*	< 1,63	< 0,002	< 0,004	0,3 - 2,0	52°43'59,4"N 14°35'49,8"E	otoczenie stacji bazowej - 160 m wzdłuż gł. osi promieniowania - GKP	< 0,042	< 0,041
15	< 0,7*	< 1,63	< 0,002	< 0,004	0,3 - 2,0	52°43'57,6"N 14°35'52,8"E	otoczenie stacji bazowej - 240 m wzdłuż gł. osi promieniowania - GKP	< 0,042	< 0,041
16	< 0,7*	< 1,63	< 0,002	< 0,004	0,3 - 2,0	52°43'55,7"N 14°35'55,7"E	otoczenie stacji bazowej - 320 m wzdłuż gł. osi promieniowania - GKP	< 0,042	< 0,041
17	< 0,7*	< 1,63	< 0,002	< 0,004	0,3 - 2,0	52°43'53,8"N 14°35'58,7"E	otoczenie stacji bazowej - 400 m wzdłuż gł. osi promieniowania - GKP	< 0,042	< 0,041
18	< 0,7*	< 1,63	< 0,002	< 0,004	0,3 - 2,0	52°43'51,9"N 14°36'01,6"E	otoczenie stacji bazowej - 480 m wzdłuż gł. osi promieniowania - GKP	< 0,042	< 0,041
19	< 0,7*	< 1,63	< 0,002	< 0,004	0,3 - 2,0	52°44'01,2"N 14°35'46,3"E	otoczenie stacji bazowej - 80 m wzdłuż gł. osi promieniowania - GKP	< 0,042	< 0,041
20	< 0,7*	< 1,63	< 0,002	< 0,004	0,3 - 2,0	52°43'58,8"N 14°35'48,6"E	otoczenie stacji bazowej - 160 m wzdłuż gł. osi promieniowania - GKP	< 0,042	< 0,041
21	< 0,7*	< 1,63	< 0,002	< 0,004	0,3 - 2,0	52°43'56,7"N 14°35'50,9"E	otoczenie stacji bazowej - 240 m wzdłuż gł. osi promieniowania - GKP	< 0,042	< 0,041
22	< 0,7*	< 1,63	< 0,002	< 0,004	0,3 - 2,0	52°43'54,5"N 14°35'53,3"E	otoczenie stacji bazowej - 320 m wzdłuż gł. osi promieniowania - GKP	< 0,042	< 0,041
23	< 0,7*	< 1,63	< 0,002	< 0,004	0,3 - 2,0	52°43'52,4"N 14°35'55,5"E	otoczenie stacji bazowej - 400 m wzdłuż gł. osi promieniowania - GKP	< 0,042	< 0,041
24	< 0,7*	< 1,63	< 0,002	< 0,004	0,3 - 2,0	52°43'50,2"N 14°35'57,8"E	otoczenie stacji bazowej - 480 m wzdłuż gł. osi promieniowania - GKP	< 0,042	< 0,041
25	< 0,7*	< 1,63	< 0,002	< 0,004	0,3 - 2,0	52°44'02,1"N 14°35'40,1"E	otoczenie stacji bazowej - 80 m wzdłuż gł. osi promieniowania - GKP	< 0,042	< 0,041
26	< 0,7*	< 1,63	< 0,002	< 0,004	0,3 - 2,0	52°44'00,1"N 14°35'36,2"E	otoczenie stacji bazowej - 160 m wzdłuż gł. osi promieniowania - GKP	< 0,042	< 0,041
27	< 0,7*	< 1,63	< 0,002	< 0,004	0,3 - 2,0	52°43'59,9"N 14°35'32,4"E	otoczenie stacji bazowej - 240 m wzdłuż gł. osi promieniowania - GKP	< 0,042	< 0,041
28	< 0,7*	< 1,63	< 0,002	< 0,004	0,3 - 2,0	52°43'58,8"N 14°35'28,5"E	otoczenie stacji bazowej - 320 m wzdłuż gł. osi promieniowania - GKP	< 0,042	< 0,041
29	< 0,7*	< 1,63	< 0,002	< 0,004	0,3 - 2,0	52°43'57,6"N 14°35'24,6"E	otoczenie stacji bazowej - 400 m wzdłuż gł. osi promieniowania - GKP	< 0,042	< 0,041
30	< 0,7*	< 1,63	< 0,002	< 0,004	0,3 - 2,0	52°43'56,5"N 14°35'20,8"E	otoczenie stacji bazowej - 480 m wzdłuż gł. osi promieniowania - GKP	< 0,042	< 0,041
31	< 0,7*	< 1,63	< 0,002	< 0,004	0,3 - 2,0	52°44'02,6"N 14°35'39,8"E	otoczenie stacji bazowej - 80 m wzdłuż gł. osi promieniowania - GKP	< 0,042	< 0,041

Nr PP	Pole-E [V/m]	Pole-E * _{k_E+U} [V/m]	Pole-H [A/m]	Pole-H * _{k_E+U} [A/m]	Wysokość pomiaru [m]	Współrzędne PP x, y	Opis PP	WM _E	WM _H
32	< 0,7*	< 1,63	< 0,002	< 0,004	0,3 - 2,0	52°44'02,0"N 14°35'35,7"E	otoczenie stacji bazowej - 160 m wzdłuż gł. osi promieniowania - GKP	< 0,042	< 0,041
33	< 0,7*	< 1,63	< 0,002	< 0,004	0,3 - 2,0	52°44'01,3"N 14°35'31,5"E	otoczenie stacji bazowej - 240 m wzdłuż gł. osi promieniowania - GKP	< 0,042	< 0,041
34	< 0,7*	< 1,63	< 0,002	< 0,004	0,3 - 2,0	52°44'00,7"N 14°35'27,5"E	otoczenie stacji bazowej - 320 m wzdłuż gł. osi promieniowania - GKP	< 0,042	< 0,041
35	< 0,7*	< 1,63	< 0,002	< 0,004	0,3 - 2,0	52°44'00,1"N 14°35'23,3"E	otoczenie stacji bazowej - 400 m wzdłuż gł. osi promieniowania - GKP	< 0,042	< 0,041
36	< 0,7*	< 1,63	< 0,002	< 0,004	0,3 - 2,0	52°43'59,5"N 14°35'19,1"E	otoczenie stacji bazowej - 480 m wzdłuż gł. osi promieniowania - GKP	< 0,042	< 0,041
37	< 0,7*	< 1,63	< 0,002	< 0,004	0,3 - 2,0	52°44'03,0"N 14°35'39,7"E	otoczenie stacji bazowej - 80 m wzdłuż gł. osi promieniowania - GKP	< 0,042	< 0,041
38	< 0,7*	< 1,63	< 0,002	< 0,004	0,3 - 2,0	52°44'03,0"N 14°35'35,4"E	otoczenie stacji bazowej - 160 m wzdłuż gł. osi promieniowania - GKP	< 0,042	< 0,041
39	< 0,7*	< 1,63	< 0,002	< 0,004	0,3 - 2,0	52°44'03,0"N 14°35'31,2"E	otoczenie stacji bazowej - 240 m wzdłuż gł. osi promieniowania - GKP	< 0,042	< 0,041
40	< 0,7*	< 1,63	< 0,002	< 0,004	0,3 - 2,0	52°44'03,0"N 14°35'26,9"E	otoczenie stacji bazowej - 320 m wzdłuż gł. osi promieniowania - GKP	< 0,042	< 0,041
41	< 0,7*	< 1,63	< 0,002	< 0,004	0,3 - 2,0	52°44'03,0"N 14°35'22,7"E	otoczenie stacji bazowej - 400 m wzdłuż gł. osi promieniowania - GKP	< 0,042	< 0,041
42	< 0,7*	< 1,63	< 0,002	< 0,004	0,3 - 2,0	52°44'03,0"N 14°35'18,5"E	otoczenie stacji bazowej - 480 m wzdłuż gł. osi promieniowania - GKP	< 0,042	< 0,041
43	< 0,7*	< 1,63	< 0,002	< 0,004	0,3 - 2,0	52°44'05,7"N 14°35'42,7"E	otoczenie stacji bazowej - 80 m wzdłuż gł. osi promieniowania - GKP	< 0,042	< 0,041
44	< 0,7*	< 1,63	< 0,002	< 0,004	0,3 - 2,0	52°44'08,2"N 14°35'41,5"E	otoczenie stacji bazowej - 160 m wzdłuż gł. osi promieniowania - GKP	< 0,042	< 0,041
45	< 0,7*	< 1,63	< 0,002	< 0,004	0,3 - 2,0	52°44'10,6"N 14°35'40,2"E	otoczenie stacji bazowej - 240 m wzdłuż gł. osi promieniowania - GKP	< 0,042	< 0,041
46	< 0,7*	< 1,63	< 0,002	< 0,004	0,3 - 2,0	52°44'13,1"N 14°35'39,0"E	otoczenie stacji bazowej - 320 m wzdłuż gł. osi promieniowania - GKP	< 0,042	< 0,041
47	< 0,7*	< 1,63	< 0,002	< 0,004	0,3 - 2,0	52°44'15,6"N 14°35'37,7"E	otoczenie stacji bazowej - 400 m wzdłuż gł. osi promieniowania - GKP	< 0,042	< 0,041
48	< 0,7*	< 1,63	< 0,002	< 0,004	0,3 - 2,0	52°44'18,1"N 14°35'36,6"E	otoczenie stacji bazowej - 480 m wzdłuż gł. osi promieniowania - GKP	< 0,042	< 0,041
49	< 0,7*	< 1,63	< 0,002	< 0,004	0,3 - 2,0	52°44'03,5"N 14°35'47,1"E	otoczenie stacji bazowej - 60 m wzdłuż gł. osi promieniowania - GKP	< 0,042	< 0,041
50	< 0,7*	< 1,63	< 0,002	< 0,004	0,3 - 2,0	52°44'03,8"N 14°35'50,3"E	otoczenie stacji bazowej - 120 m wzdłuż gł. osi promieniowania - GKP	< 0,042	< 0,041
51	< 0,7*	< 1,63	< 0,002	< 0,004	0,3 - 2,0	52°44'03,4"N 14°35'50,2"E	otoczenie stacji bazowej - 120 m wzdłuż gł. osi promieniowania - GKP	< 0,042	< 0,041
52	< 0,7*	< 1,63	< 0,002	< 0,004	0,3 - 2,0	52°44'01,3"N 14°35'43,1"E	otoczenie stacji bazowej - 60 m wzdłuż gł. osi promieniowania - GKP	< 0,042	< 0,041
53	< 0,7*	< 1,63	< 0,002	< 0,004	0,3 - 2,0	52°43'59,5"N 14°35'41,8"E	otoczenie stacji bazowej - 120 m wzdłuż gł. osi promieniowania - GKP	< 0,042	< 0,041
54	< 0,7*	< 1,63	< 0,002	< 0,004	0,3 - 2,0	52°44'04,8"N 14°35'40,6"E	otoczenie stacji bazowej - PKP	< 0,042	< 0,041
55	< 0,7*	< 1,63	< 0,002	< 0,004	0,3 - 2,0	52°44'06,3"N 14°35'37,1"E	otoczenie stacji bazowej - PKP	< 0,042	< 0,041
A	< 0,7*	< 1,63	< 0,002	< 0,004	0,3 - 2,0	52°43'59,4"N 14°35'31,6"E	ul. Wojska Polskiego 6, pomiar przed budynkiem - DPP	< 0,042	< 0,041
B	< 0,7*	< 1,63	< 0,002	< 0,004	0,3 - 2,0	52°43'59,9"N 14°35'30,5"E	ul. Wojska Polskiego 6, pomiar przed budynkiem - DPP	< 0,042	< 0,041
C	< 0,7*	< 1,63	< 0,002	< 0,004	0,3 - 2,0	52°43'55,4"N 14°35'52,6"E	ul. Wojska Polskiego 8, pomiar przed budynkiem - DPP	< 0,042	< 0,041
D	< 0,7*	< 1,63	< 0,002	< 0,004	0,3 - 2,0	52°44'12,3"N 14°35'43,4"E	ul. Wojska Polskiego 7, pomiar przed budynkiem - DPP	< 0,042	< 0,041

Wynik pomiaru pole - E [V/m] - maksymalna wartość chwilowa zmierzona w danych pionie pomiarowym.

Przyjęto najniższą dopuszczalną wartość składowej elektrycznej pola dla objętego pomiarami zakresu częstotliwości $\min(ME_{gr})= 38,8$ V/m oraz składowej magnetycznej $\min(MH_{gr})= 0,105$ A/m.

* - poniżej czułości zestawu pomiarowego

GKP - główne kierunki pomiarowe

PKP - pomocnicze kierunki pomiarowe

DPP - dodatkowe punkty pomiarowe

PP - pion pomiarowy

U - niepewność rozszerzona wynosi 58,4% przy poziomie ufności 95% z uwzględnieniem współczynnika rozszerzenia $k=2$.

k_E - poprawka pomiarowa badanej instalacji radiokomunikacyjnej podana przez operatora ($k_E=1,47$),

poprawka pomiarowa w przypadku oddziaływania innych instalacji radiokomunikacyjnych na badany obszar ($k_E=2,0$)

WM_E - wartość wskaźnikowa poziomu emisji pól elektromagnetycznych dla miejsc dostępnych dla ludności dla składowej elektrycznej pola

WM_H - wartość wskaźnikowa poziomu emisji pól elektromagnetycznych dla miejsc dostępnych dla ludności dla składowej magnetycznej pola

7. Stwierdzenie zgodności

Na podstawie wytycznych podanych w Rozporządzeniu Ministra Zdrowia z dnia 17 grudnia 2019 r. w sprawie dopuszczalnych poziomów pól elektromagnetycznych w środowisku (Dz.U. 2019 poz. 2448) oraz sposobów sprawdzania dotrzymania tych poziomów zgodnie z Rozporządzeniem Ministra Klimatu z dnia 17 lutego 2020 r. w sprawie sposobów sprawdzania dotrzymania dopuszczalnych poziomów pól elektromagnetycznych w środowisku (Dz.U. 2020 poz. 258) dotyczących źródła wymagań, które muszą być spełnione (załącznik do rozporządzenia Ministra Klimatu z dnia 17 lutego 2020 r. (poz. 258)), w oparciu o zasadę podejmowania decyzji zgodną z pkt 26 załącznika do rozporządzenia Ministra Klimatu z dnia 17 lutego 2020 r. (poz. 258), na podstawie wyników pomiarów pól elektromagnetycznych wykonanych w dniu 01.04.2021 stwierdzono, iż w miejscach dostępnych dla ludności, dopuszczalne poziomy pól elektromagnetycznych w środowisku, określone w przepisach wydanych na podstawie art. 122 ust. 1 ustawy z dnia 27 kwietnia 2001 r. – Prawo ochrony środowiska, uznaje się za dotrzymane w obszarze pomiarowym, w którym w wyniku zastosowania sposobu sprawdzenia dotrzymania dopuszczalnych poziomów pól elektromagnetycznych w środowisku, udokumentowano, że żadna z wartości wskaźnikowych nie przekracza wartości 1.

8. Oświadczenie.

Wyniki badania odnoszą się wyłącznie do badanego obiektu.

Bez pisemnej zgody sprawozdanie nie może być powielane inaczej, jak tylko w całości.

Uwagi i zastrzeżenia przyjmowane są w formie pisemnej w ciągu 14 dni od daty otrzymania sprawozdania.

9. Spis załączników.

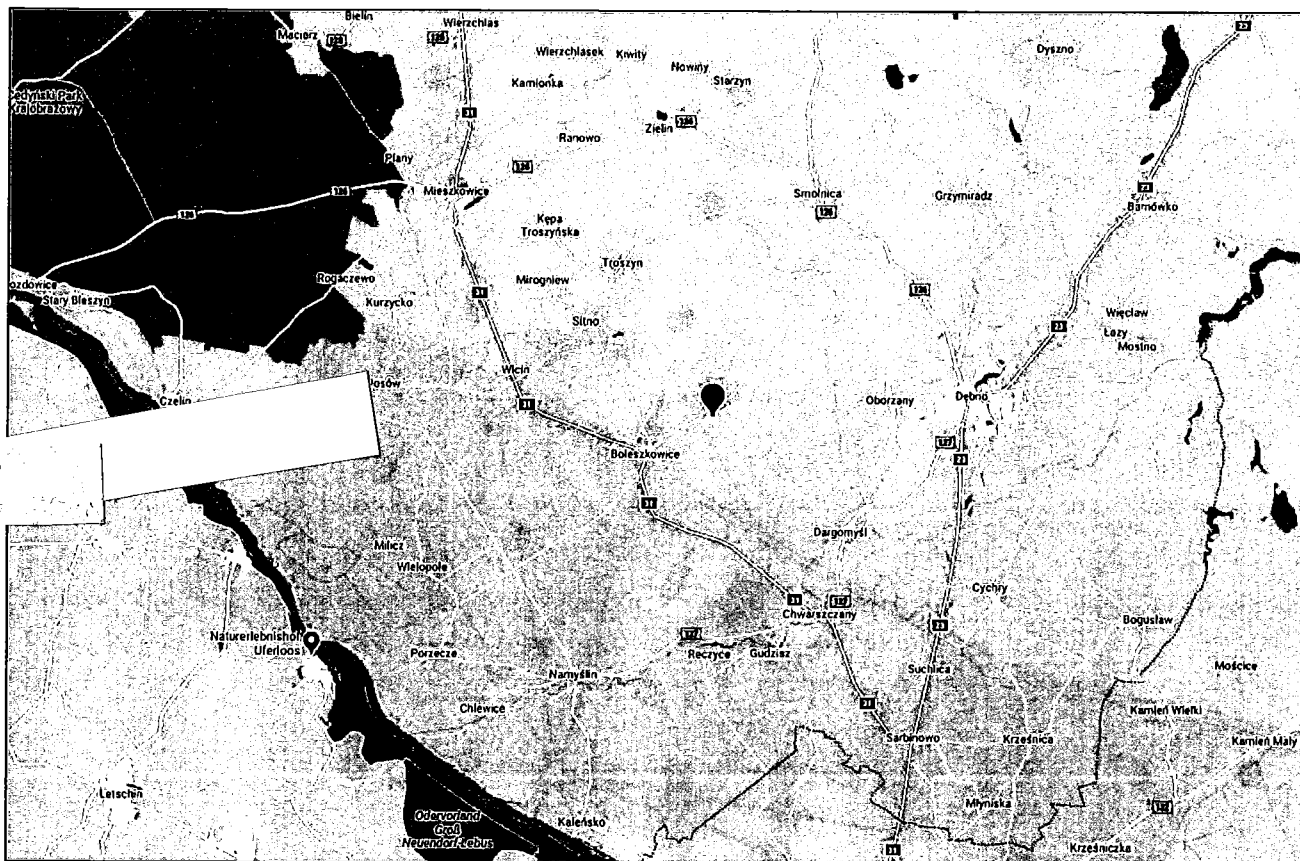
Zał. 1. Lokalizacja obiektu.

Zał. 2. Widok pionów pomiarowych

Zał. 3. Widok stacji bazowej

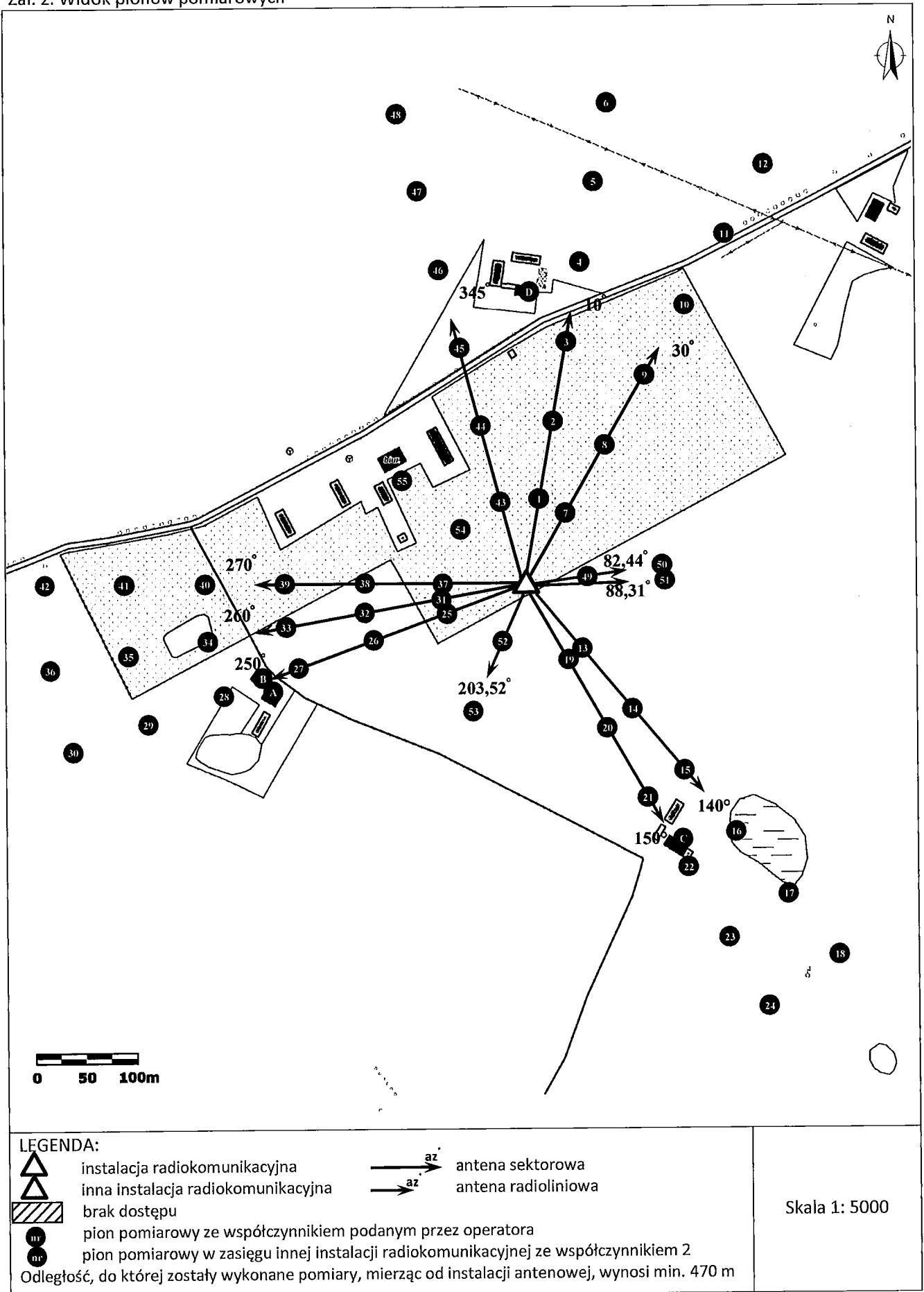
Koniec sprawozdania

Załącznik 1. Lokalizacja obiektu



Współrzędne geograficzne	
długość:	14° 35' 43.92" E
szerokość:	52° 44' 03.30" N

Załącznik 2. Widok pionów pomiarowych



LEGENDA:

- instalacja radiokomunikacyjna
- inna instalacja radiokomunikacyjna
- brak dostępu
- pion pomiarowy ze współczynnikiem podanym przez operatora
- pion pomiarowy w zasięgu innej instalacji radiokomunikacyjnej ze współczynnikiem 2
- Odległość, do której zostały wykonane pomiary, mierząc od instalacji antenowej, wynosi min. 470 m

- antena sektorowa
- antena radioliniowa

Skala 1: 5000

Zał. 3. Załączniki graficzne

